

کدهای میله‌ای: تحلیل توپولوژیک داده‌ها^۰

رابرت گریست*

ترجمه حسن حقیقی

را در نظر بگیریم که با یک پارامتر نزدیکی^۱ اندیس‌گذاری شده باشند. این کار مجموعه داده‌ها را به اشیای توپولوژیک کلی تبدیل می‌کند.

۲. این مجتمعهای توپولوژیک را با عدسی توپولوژی جبری—به خصوص از طریق نظریه جدید مانستگی ماندگار^۲، که بر خانواده‌های پارامتری تطبیق یافته باشد، ببینیم.

۳. مانستگی ماندگار مجموعه‌ای از داده‌ها را به صورت نسخه پارامتری شده یک عدد بتی، یعنی کد میله‌ای^۳ بیان کنیم.

در این مقاله مروری، این موضوعات را معرفی می‌کنیم و مثالی از کاربرد این تکنیکها را در مورد یک مجموعه داده‌های از بعد بالا، مستخرج از تصاویر طبیعی، بررسی خواهیم کرد.

۱. توده‌های داده‌ها

داده‌ها اغلب به صورت دنباله‌ای نامرتب از نقاط در فضای اقلیدسی \mathbb{R}^n نمایش داده می‌شوند. داده‌های حاصل از یک حسگر در یک میز آزمایش^۴ مهندسی، یا حاصل از پاسخهای مندرج در پرسش نامه یک آزمایش روانشناسی، یا از اندازه‌های جمعیت در یک اکوسیستم پیچیده، همگی در فضایی بالقوه از بعد بالا قرار دارند. «شکل» کلی داده‌ها اغلب ممکن است درباره پدیده‌های اصلی که داده‌ها نمایش می‌دهند، اطلاعات مهمی به دست دهد.

نوعی از مجموعه داده‌ها که ویژگی‌های کلی آن معلوم و مهم‌اند، داده‌های توده‌ نقطه‌ای^۵ نام دارد که از اشیای فیزیکی در فضای سه‌بعدی به دست می‌آید. کاوشگرهای تماسی^۶، لیزرهای نقطه‌ای یا لیزرهای خطی، جسم معلق را می‌روند و از سطح نمونه‌گیری می‌کنند، و به ثبت مختصات نقاط اصلی روی سطح جسم می‌پردازند. چنین توده‌ای از نقاط را می‌توان خیلی سریع

1. proximity parameter 2. persistent homology 3. barcode
4. testbed 5. point cloud data 6. touch probes

۱. شکل داده‌ها

وقتی از توپولوژیدان سؤال می‌شود: «چگونه یک شیء چهار بعدی را در ذهن خود مجسم می‌کنید؟» پاسخ مناسبی که می‌تواند بدهد، یک پاسخ سقطی است: «شما چگونه یک شیء سه‌بعدی را در ذهن خود مجسم می‌کنید؟» ما اشیا را در فضای سه‌بعدی مستقیماً نمی‌بینیم بلکه آنها را از طریق ترکیب یک سلسه تصاویر مسطح به‌گونه‌ای حس می‌کنیم. بخش قابل توجهی از اولین سال زندگی ما صرف آموختن این امر می‌شود که چگونه داده‌های فضایی سه‌بعدی را از تصاویر مسطح جفت‌وجور شده استنتاج کنیم. سالها ممارست، توانایی چشمگیری برای استخراج ساختار کلی از تصاویری در بعد پایین تر پدید آورده است.

استنتاج ساختار کلی از طریق تبدیل داده‌های گسسته به تصاویر پیوسته، در مقیاسهای بسیار ظرفی‌تری هم انجام می‌ذیرد. چایگرهای سوزنی، تابلوهای تبلیغاتی LED، تلویزیون، و نمایشگر رایانه‌ها، همگی تصاویر را از طریق آرایه‌هایی از نقاط گسسته که در قالب اشیایی کلی و منسجم ترکیب شده‌اند، انتقال می‌دهند. این نیز مهارتی است که ما از کودکی آن را تمرین کرده‌ایم.

۱. تحلیل توپولوژیک داده‌ها

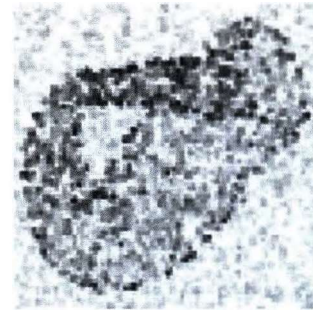
مسائلهای تحلیل داده‌ها، ویژگی‌های مشترک بسیاری با این دو مسئله بنیادی ترکیب اشکال دارند: (۱) چگونه ساختاری با بعد بالا از نمایشگاهی بعد پایین استنتاج می‌شود؛ و (۲) چگونه نقاط گسسته در ساختار کلی گرد می‌آیند.

این مقاله مروری بر کارهای کارلسن، دو سیلوا، ادلزبرونر^۱، هارر^۲، زمردان و دیگران در این زمینه است. [متوجه مفاهیم پایه عمده‌ای را که پیش‌نیاز مطالعه این مقاله‌اند در تابلو «یادآوری بعضی مفاهیم» آورده است و خوانندگانی که آنها را از یاد برده‌اند می‌توانند به این تابلو مراجعه کنند]. موضوعات اصلی مقاله، تکنیکهای مفید زیرند.

۱. به جای مجموعه‌ای از نقاط داده، خانواده‌ای از مجتمعهای سادگی

1. Edelsbrunner 2. Harer

هستند. به طور مشخص: گراف به یک مجتمع سادکی، فضایی که از قطعات ساده‌ای (سادکهای) ساخته شده که به طور ترکیبی در طول وجه‌ها یکی گرفته شده‌اند، ترکیب می‌باید. انتخاب شیوه پرکردن سادکهای ابعاد بالاتر گراف نزدیکی، نمایش‌های کلی متفاوتی را امکان‌پذیر می‌سازد. دو تا از طبیعی‌ترین روشها برای انجام این کار به شرح زیرند.



تعریف ۱.۱ گردایه‌ای از نقاط $\{x_\alpha\}$ در فضای اقلیدسی \mathbb{E}^n داده شده است. مجتمع چخ^۱ [همچنین، موسوم به عصب، \mathcal{C}_ϵ]، مجتمع سادکی مجردی است که k -سادکهای آن به وسیله $(1 + (k + 1)\text{-تاییهای نامرتب نقاط } \{x_\alpha\})^k$ تعیین می‌شوند، به طوری که همسایگی‌های بسته $/2 - \epsilon$ -گوی آنها، یک نقطه مشترک دارند.

تعریف ۲.۱ گردایه‌ای از نقاط $\{x_\alpha\}$ در فضای اقلیدسی \mathbb{E}^n داده شده است. مجتمع ریپس^۲, \mathcal{R}_ϵ ، مجتمع سادکی مجردی است که k -سادکهای آن متناظر با $(1 + (k + 1)\text{-تاییهای نامرتب نقاط } \{x_\alpha\})^k$ از نقاط اند که دو بهدو در فاصله‌ای کمتر از ϵ قرار دارند.*

قضیة چخ (یا «قضیة عصب») حاکی است که \mathcal{C}_ϵ نوع هموتوپی‌ای برای اجتماع گویهای بسته به ساعت $/2 - \epsilon$ حول مجموعه نقاط $\{x_\alpha\}$ دارد. این بدان معناست که \mathcal{C} ، هرچند مجتمع سادکی مجردی است که بعد آن به طور بالقوه بالاست، درست مثل زیرمجموعه‌ای از \mathbb{E}^n رفتار می‌کند (شکل ۲ را ببینید). مجتمع چخ، از نظر توپولوژیک یک مدل سادکی معتبر برای توپولوژی یک توده‌نقطه است که از گویهای انباشته شده است. اما مجتمع چخ و زیرمجموعه‌ای گوناگونی که به طور توپولوژیک هم ارز آن هستند (برای مثال، مجتمع آلفای [۱۳]) اشیای خوبی از لحاظ محاسبه، با تکیه بر فاصله دقیق بین گرهای در \mathbb{E}^n هستند.

از نظر محاسباتی، در مورد مجتمع ریپس به عملیات کمتری نیاز است تا در مورد مجتمع چخ، اگرچه معنای این است که نمونه‌ای از دارد. دلیل آن هم این است که مجتمع ریپس یک مجتمع پرچم^۳ است. یعنی در میان تمام مجموعه‌ای با $1 - \text{اسکلت مفروض}$ ، ماکسیمال است. بنابراین، خاصیت ترکیبیاتی $1 - \text{اسکلت مجتمع را}$ ، به طور کامل، مشخص می‌کند و مجتمع ریپس را می‌توان به صورت یک گراف ذخیره کرد و دوباره ساخت، به جای اینکه تمامی عملگرهای مرزی مورد نیاز برای مجتمع چخ را ذخیره کنیم. این مزیت، که داده‌های حاصل از نزدیکی ناظریف^۴ روی زوجهای گرهای، مجتمع ریپس را تعیین می‌کند، خالی از هزینه نیست. جریمه این ساده‌سازی این خواهد بود که آنچه در نوع هموتوپی \mathcal{R} منعکس می‌شود بالافاصله روش نیست؛ به طور کلی، نه یک زیرمجتمع \mathbb{E}^n است و نه اینکه لزوماً مانند یک فضای $n - \text{بعدی رفتار می‌کند}$ (شکل ۲).

1. Čech complex 2. Rips complex

* برای به رسمیت شناختن کاراصلی ویهوریس در استفاده از این اشیا در دوره اولیه نظریه مانستگی، بهتر است این مجتمع را ویهوریس-ریپس بنامیم. اما برای رعایت اختصار، در اینجا اصطلاح «مجتمع ریپس» را به کار می‌بریم.

توضیح مترجم. ویهوریس در اوایل پیدایش نظریه مانستگی از این مجتمع به عنوان وسیله‌ای برای ساختن مدل‌های سادکی از فضای متريک استفاده کرد [۲۱] و ریپس در دهه ۱۹۸۰ این مجتمع را در نظریه هندسه گروهها برای ساختن مدل‌های سادکی برای عمل گروه بکار برد.

3. flag complex 4. coarse proximity

شکل ۱ تعیین ساختار کلی یک توده‌نقطه نوفاء، وقتی نقاط در \mathbb{E}^n مشکل نیست، اما برای توده‌های در ابعاد بالاتر، رمزگشایی از یک تصویر مسطح همیشه آسان نیست.

به دست آورد و برای نمایش رایانه‌ای شیء از آن استفاده کرد. یک روایت موقب این وضعیت در داده‌های ضبط حرکت پیدا می‌شود که در آنها نقاط هندسی به صورت یک سری زمانی ضبط می‌شوند. در هر دوی این حالتها، شناختن ویژگی‌های کلی حائز اهمیت‌اند: انگشت اشاره کجاست؟ سوراخ کلید کجاست؟ شکستگی کجاست؟

به پیروی از روش متدالو، هر گردایه از نقاط در \mathbb{E}^n را با داده‌های توده‌نقطه‌ای نمایش می‌دهیم، اگرچه معنای ضمنی آن این است که نمونه‌ای از نقاط (که شاید نوфе باشد) روی زیرمجموعه‌ای از بعد یابن تر قرار دارند. برای توده‌هایی از نقاط که در یک فضای کم بعد قرار دارند، رویکردهای متعددی برای استنتاج ویژگیها براساس تصاویر مسطح وجود دارد: تکنیکهای بازسازی در نوشتگان گرافیک رایانه‌ای و آمار، گوناگون است. از یک منظر طبیعی، وقتی داده‌ها به طور ذاتی از بعد بالا هستند، یا آنقدر «تابیده» (مخدوش) اند که مانع ایجاد یک تصویر مسطح قابل اعتماد می‌شوند، تصاویر مسطح ارزش محدودی دارند.

اخيراً رویکردی کلی تر و درونی تر به توده‌داده‌های از بعد بالا در کارهای کارلسن و همکارانش مشاهده شده است. در این رویکرد، از ابزارهایی از توپولوژی جبری استفاده می‌شود تا ویژگی‌های کلی مجموعه داده‌های از بعد بالا استخراج شود. این مقاله موری است موجز بر برخی از کارهای ایشان. به خاطر تمرکز توجه به تکنیکهایی از توپولوژی جبری، قسمت اعظم کارهایی را که در این زمینه در آمار غیرخطی انجام گرفته (و به ندرت توپولوژیک هستند) و همچنین تحقیقات انجام شده در گرافیک رایانه‌ای را (که به ندرت در بعد بالا هستند) نادیده می‌گیریم.

۳.۱ از توده‌ها به مجتمعها

بدیهی‌ترین راه برای تبدیل گردایه‌ای از نقاط $\{x_\alpha\}$ در یک فضای متريک به یک شیء کلی، به کار گرفتن توده نقاط به عنوان رؤس یک گراف ترکیبیاتی است که یالهای آن با رابطه نزدیکی (راسهایی که در فاصله معین ϵ قرار می‌گیرند) تعیین می‌شود. چنین گرافی هرچند داده‌های مربوط به همبندی را در خود ضبط می‌کند، اما بسیاری ویژگی‌های از مرتبه بالاتر، که در روابط خوشبندی قرار دارد، در آن نادیده گرفته می‌شود. با پذیرفتن گراف به عنوان قالبی برای یک شیء از بعد بالاتر، این ویژگیها به صورتی دقیق قابل درک

یادآوری بعضی مفاهیم

۱. مدول آزاد

همانگونه که هر عنصر یک فضای برداری V روی یک میدان F را می‌توان به صورت یکتایی به شکل ترکیب خطی مجموعه‌ای معین از عناصر V نوشت، ممکن است بتوان هر عنصر یک R -مدول M را به صورت یکتایی به شکل ترکیب خطی یک مجموعه معین از عناصر M نوشت. در این صورت، M را یک R -مدول آزاد می‌نامند. به عبارت دیگر، R -مدول M را آزاد می‌نامند هرگاه با یک جمع مستقیم از R ‌ها یکریخت باشد. یعنی $M \simeq \bigoplus R$

۲. دامنه ایده‌آل اصلی

دامنه صحیح R را یک دامنه ایده‌آل اصلی می‌نامند هرگاه هر ایده‌آل آن توسط یک عنصر تولید شود. \mathbb{Z} و حلقه چندجمله‌ایها با ضرایب متعلق به یک میدان F ، $F[x]$ مثالهایی از دامنه‌های ایده‌آل اصلی‌اند.

قضیه ساختاری مدولهای متناهی مولد روی دامنه‌های ایده‌آل اصلی
فرض کنیم R یک دامنه ایده‌آل اصلی و M یک R -مدول متناهی مولد باشد. آنگاه

$$M \simeq \bigoplus_{i=1}^{i=n} x^{t_i} \cdot R \oplus \left(\bigoplus_{j=1}^{j=m} (R/x^{s_j} \cdot R) \right)$$

۳. حلقه مدرج

حلقه R را \mathbb{N} -مدرج می‌نامند هرگاه زیرگروههای $\{R_i\}_{i \in \mathbb{N}}$ از R وجود داشته باشند به‌طوری که $R = \bigoplus_{i \in \mathbb{N}} R_i$ و به‌ازای هر $i, j \in \mathbb{N}$ $R_i \cdot R_j \subset R_{i+j}$

۴. مجتمع سادکی مجرد

فرض کنیم $\{x_1, \dots, x_n\} = V$ یک مجموعه و Δ زیرمجموعه‌ای از مجموعه زیرمجموعه‌های V باشد. Δ را یک مجتمع سادکی روی V می‌نامند هرگاه
• به‌ازای هر $x \in V$ ، $\{x\} \in \Delta$
• اگر $B \in \Delta$ و $A \in \Delta$ آنگاه $B \subset A$

هر عضو Δ را یک وجه می‌نامند و برای هر وجه F عدد $1 - |F|$ را بعد F می‌خوانند. عدد $\max\{\dim F \mid F \in \Delta\}$ را بعد Δ می‌نامند.

۵. r -اسکلت یک مجتمع سادکی

فرض کنیم Δ یک مجتمع سادکی از بعد n روی V و r یک عدد صحیح با ویژگی $n \leq r \leq 1 -$ باشد. مجموعه

$$\Delta^{(r)} = \{F \in \Delta \mid \dim F \leq r\}$$

را که خود یک مجتمع سادکی روی V است، r -اسکلت Δ می‌نامند.

۶. گروههای مانستگی [هومولوژی]

به هر مجتمع سادکی Δ از بعد $n + 1$ گروه جابه‌جایی (یا مدول) به صورت زیر نسبت داده می‌شود.
فرض کنیم R یک حلقه جابه‌جایی یکه‌دار و $\{x_{i_1}, \dots, x_{i_s}\}$ عناصرش باشد که عناصرش به ترتیب صعودی اندیسها مرتب شده‌اند. در این صورت، این وجه را با $[x_{i_1}, \dots, x_{i_s}]$ نمایش می‌دهیم. به هر وجه $F \in \Delta$ یک نشان e_F نسبت می‌دهیم. فرض کنیم به‌ازای هر $-1 \leq k \leq n$ $C_k(\Delta) = \bigoplus_{F \in \Delta, \dim F = k} R \cdot e_F$ مدول آزاد پذید آمده توسط وجه‌های k بعدی Δ باشد.
تناظر $C_k : C_k(\Delta) \rightarrow C_{k-1}(\Delta)$ که به صورت

$$\partial_k([x_1, \dots, x_{k+1}]) = \sum_{i=1}^{i=k+1} (-1)^i [x_1, \dots, \hat{x}_i, \dots, x_{k+1}]$$

تعریف می‌شود به یک همیختی R -مدولها از $C_k(\Delta)$ در $C_{k-1}(\Delta)$ گسترش می‌یابد. از نحوه تعریف $\partial_k \circ \partial_{k+1} = 0$ نتیجه می‌شود \circ ترتیب یک مجتمع زنجیری از R -مدولها و R -همیختها به صورت زیر به دست می‌آید

$$\circ \rightarrow C_n(\Delta) \xrightarrow{\partial_n} C_{n-1}(\Delta) \xrightarrow{\partial_{n-1}} \dots \xrightarrow{\partial_1} C_0(\Delta) \xrightarrow{\partial_0} 0.$$

اگر $\{b\}$ بازی b' در (Δ) باشد، $\ker \partial_k = \{a \in C_k(\Delta) | \partial_k(a) = 0\}$ و $\text{Im } \partial_{k+1} = \{b \in C_{k+1}(\Delta) | \partial_{k+1}(b') = b, C_{k+1}(\Delta) = b\}$. $\text{Im } \partial_{k+1} \subset \ker \partial_k / \text{Im } \partial_{k+1}$. مجموع سادکی Δ می‌نامند. $\dim H_k(\Delta) = \ker \partial_k / \text{Im } \partial_{k+1}$ مجموع مانستگی [همولوژی] مجموع سادکی Δ می‌نامند. اگر R یک میدان باشد آنگاه $\dim H_k(\Delta)$ را k -امین عدد بتی Δ می‌نامند و با β_k نمایش می‌دهند.

مثال. فرض کنیم Δ مجتمع سادکی وابسته به بطری کلاین باشد. آنگاه گروههای مانستگی آن به عنوان \mathbb{Z} -مدول به صورت زیرند

$$H_n(\Delta) = \begin{cases} \mathbb{Z} & n = 0 \\ \mathbb{Z} \oplus \mathbb{Z} & n = 1 \\ \{0\} & n = 2 \end{cases}$$

۷. هموتوپی

فرض کنیم X و Y دو فضای توپولوژیک و $f, g : X \times I \rightarrow Y$ دو نگاشت یوسته باشند. f و g را هموتوپ گویند هرگاه یک تابع یوسته $F : X \times I \rightarrow Y$ بازه بسته $[0, 1]$ است، وجود داشته باشد به طوری که $F(x, 0) = f(x)$ و $F(x, 1) = g(x)$

همارزی هموتوپی

دو فضای توپولوژیک X و Y را هموتوپی-همارزگوییم هرگاه دو تابع یوسته $f, g : X \rightarrow Y$ باشند به طوری که $f \circ g$ با تابع همانی Y و $g \circ f$ با تابع همانی X هموتوپ باشند. در این صورت، X و Y را دارای یک نوع هموتوپی هم می‌نامند.



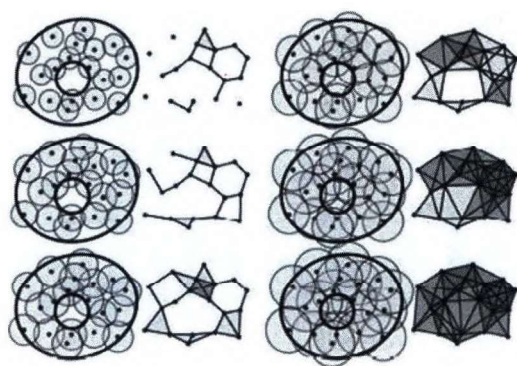
شکل ۱. سه فضای فوق متشکل از خطوط سیاه، دارای یک نوع هموتوپی هستند.

۸. نظریه کردن مجتمع سادکی به یک فضای توپولوژیک

فرض کنیم X یک فضای توپولوژیک باشد. به هر پوشش باز $\{U_\alpha\}_{\alpha \in A}$ برای X یک مجتمع سادکی به صورت زیر می‌توان نظریه کرد. به ازای هر $\alpha \in A$ ، یک عضو x_α از U_α انتخاب می‌کنیم. اگر $N(\mathcal{U})$ مجموعه تمام چنین عناصری باشد، روی آن یک مجتمع $\Delta(\mathcal{U})$ به صورت زیر تعریف می‌کنیم

$$\{x_{\alpha 1}, \dots, x_{\alpha n}\} \in \Delta(\mathcal{U}) \quad \text{اگر و تنها اگر} \quad U_{\alpha 1} \cap \dots \cap U_{\alpha n} \neq \emptyset$$

این مجتمع را عصب \mathcal{U} می‌نامند. حال اگر $\{V_\beta\}_{\beta \in B}$ یک پوشش باز دیگر برای X باشد به طوری که به ازای هر $\alpha \in A$ و $\beta \in B$ داشته باشد که $V_\beta \subset U_\alpha$ ، آنگاه یک نگاشت سادکی از $N(\mathcal{V})$ در $N(\mathcal{U})$ تعریف می‌شود که با تقریب هموتوپی خوشناسی این پوشش را از X به V_β متریک می‌کند. اگر X یک فضای متریک باشد، به ازای هر $\epsilon > 0$ می‌توان یک پوشش باز برای X از گویهای باز به شاعر ϵ و یک عصب برای این پوشش ساخت که با تغییر، زنجیری از چنین مجتمعهایی ساخته می‌شوند. دو نوع خاص آن، یعنی چخ و ریس اشیای اصلی مورد بحث در این مقاله‌اند.



شکل ۳ دنباله‌ای از مجتمعهای ریپس برای یک مجموعه داده‌های توده نقطه‌ای که نمایش‌دهنده یک طبق است. با افزایش ϵ ، حفره‌ها ظاهر و محروم شوند. کدام حفره‌ها واقعی و کدام نوافه است؟

بته کفايت نمی‌کند. وسیله‌ای لازم است که مشخص کند کدام حفره‌ها اساسی هستند و کدام حفره‌ها را با اطمینان می‌توان نادیده گرفت. شیوه‌های توپولوژیک استاندارد هموتوپی و مانستگی، انعطافی در طبیعت انعطاف‌ناپذیر آنها پدید نمی‌آورند. حفره، حفره است؛ مهم نیست که چقدر صاف یا ناصاف است.

۱.۲ ماندگاری

ماندگاری بدانگونه که توسط ادلزبرونر، لیتلر^۱ و زمردیان معرفی شده [۱۲] و توسط کارلسن و زمردیان پالایش یافته [۲۲]، پاسخی دقیق به این مسئله است. فرض کنیم خانواده‌ای پارامتری شده از فضاهای داده شده است. آن ویزگی‌های توپولوژیکی که روی یک حوزه پارامتری قابل ملاحظه ماندگارند به عنوان سیگنال و ویزگی‌های زودگذر به عنوان نوافه در نظر گرفته می‌شوند. به عنوان یک مثال مشخص، فرض کنیم $R_i^N = (R_i)$ دنباله‌ای از مجتمعهای ریپس باشد که به توده نقطه معینی بهارزی یک دنباله افزایشی از مقادیر پارامتر i (۰، ۱) وابسته شده است. نگاشتهای شمول طبیعی

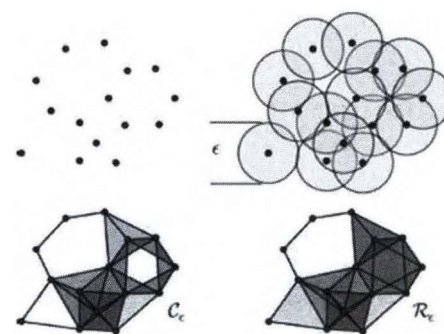
$$R_1 \rightarrow R_2 \rightarrow \dots \rightarrow R_{N-1} \rightarrow R_N \quad (1.2)$$

وجود دارد. به جای بررسی مانستگی تک‌تک جملات R_i ، مانستگی شمولهای مکرر $R_* R_i \rightarrow H_* R_i : R_* \rightarrow R_i$ بهارزی همه $j < i$ بررسی می‌شود. این نگاشتهای معلوم می‌کنند کدام ویزگی‌ها ماندگارند. به عنوان مثالی ساده، ماندگاری توضیح می‌دهد که چرا مجتمعهای ریپس تقریب قابل قبولی از مجتمعهای چخ هستند. با وجود آنکه هیچ مجتمع ریپس منفردی، تقریب قابل اعتمادی از یک مجتمع چخ منفرد نیست، زوجهای مجتمعهای ریپس، مجتمع چخ مناسب را در حفره‌ای با اندازه مناسب «فشرده» می‌کنند.

لم ۱.۲ (دوسلوا [۱۵]) بهارزی هر ϵ ، زنجیری از نگاشتهای شمول

$$R_\epsilon \rightarrow C_{\epsilon\sqrt{\epsilon}} \rightarrow R_{\epsilon\sqrt{\epsilon}} \quad (2.2)$$

وجود دارد.



شکل ۴ با کامل‌سازی یک مجموعه معین نقاط [گوشه چپ بالا] می‌توان یک مجتمع چخ C_ϵ [گوشه چپ پایین] یا یک مجتمع ریپس R_ϵ [گوشه راست بالا] براساس یک پارامتر نزدیکی ϵ بدست آورد. این مجتمع چخ نوع هموتوپی ای برای پوشش S^1/ϵ ($S^1 \vee S^1$) دارد.^۱ در حالی که مجتمع ریپس نوع هموتوپی کاملاً متفاوت ($S^1 \vee S^1$) را دارد.^۲

۴.۱ کدام؟

تبديل مجتمعهای از داده‌های توده نقطه‌ای به یک مجتمع کلی (خواه ریپس، چخ یا دیگری)، مستلزم انتخاب پارامتر ϵ است. بهارزی ϵ به اندازه کافی کوچک، مجتمع یک مجموعه گسسته است؛ بهارزی ϵ به اندازه کافی بزرگ، مجتمع یک سادک ترها از بعد بالا خواهد بود. آیا انتخابی بهینه برای ϵ وجود دارد که بهترین نحو توپولوژی مجتمعهای داده‌ها را منعکس کند؟ مجموعه داده‌های توده نقطه‌ای و دنباله‌ای از مجتمعهای ریپس را چنانکه در شکل ۳ تصویر شده در نظر بگیرید. این توده نقطه، از نمونه‌گیری از نقاط روی یک طبق مسطح به دست آمده است. آیا می‌توان این را نتیجه گرفت؟ از روی شکل به نظر می‌رسد که مقدار ایده‌آل ϵ ، اگر وجود داشته باشد، بسیار نادر است. زمانی که ϵ افزایش می‌یابد بهگونه‌ای که حفره‌های کوچک از درون طوق برداشته می‌شوند، حفره بزرگی که طوق را از قرص تمایز می‌کند، پر می‌شود.

۲. توپولوژی جبری برای داده‌ها

توپولوژی جبری مجموعه کاملی از ابزارها برای شمردن و شماره‌گذاری حفره‌ها و دیگر ویزگی‌های توپولوژیک در فضا و نگاشتهای بین آنها ارائه می‌دهد. در مورد داده‌های از بعد بالا، توپولوژی جبری به مانند تلسکوب عمل می‌کند، اشیا و ویزگی‌هایی را که با چشم غیرمسلح قابل رویت نیستند آشکار می‌کند. در آنچه در پی می‌آید، ما توجه خود را به مانستگی [هومولوژی] معطوف می‌کنیم، زیرا توانی بین محاسبه و تحلیل توپولوژیک ایجاد می‌کند. آشنایی مقدماتی با مانستگی را، به اندازه‌ای که مثلاً از فصل ۲ [۱۵] می‌توان کسب کرد، مفروض می‌گیریم [به تابلو «یادآوری بعضی مفاهیم» هم نگاه کنید.-م]. مانستگی مجتمعي وابسته به یک توده نقطه در یک ϵ مشخص، هرچند هم قابل محاسبه و هم اطلاع‌دهنده است، کافی نیست؛ اشتباه است که سوال شود کدام مقدار ϵ بهینه است. اطلاع از نحوه «شمردن» ساده تعداد و انواع حفره‌هایی که بهارزی هر مقدار پارامتر ϵ ظاهر می‌شود هم کافی نیست. اعداد ۱. فضایی همسانیخت با اجتماع سه دایره که در یک و فقط یک نقطه مشترک‌اند.-م. ۲. فضایی همسانیخت با اجتماع یک کره ۲ بعدی و یک دایره که در یک و فقط یک نقطه مشترک‌اند.-م.

اما برای ضرایب متعلق به یک میدان F , رده‌بندی $F[x]$ -مدولها از «قضیه ساختار» برای دامنه ایده‌آل‌های اصلی نتیجه می‌شود، زیرا ایده‌آل‌های مدرج $F[x]$ تنها به صورت $(x^n \cdot F[x])$ هستند. از اینجا نتیجه زیر بدست می‌آید.

قضیه ۳.۲ (رك. [۲۲]) برای یک مدول ماندگار متاهی C , با ضرایب متعلق به میدان F , یک‌ریختی زیر برقرار است

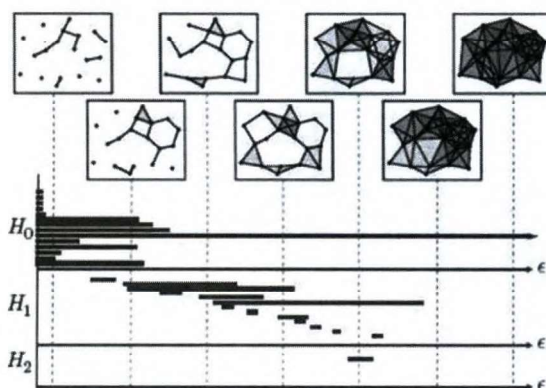
$$H_*(C; F) \cong \bigoplus_i x^{ti} \cdot F[x] \oplus \left(\bigoplus_j x^{r_j} \cdot (F[x]/(x^{s_j} \cdot F[x])) \right) \dots \quad (3.2)$$

این قضیه رده‌بندی تعییری طبیعی دارد. قسمتهای آزاد رابطه (۳.۲) با آن مولدهای مانستگی که به ازای پارامتر t_i بوجود می‌آیند و برای تمام مقادیر بعدی پارامتر ماندگار می‌مانند، در تناظری دوسویی قرار می‌گیرند. عناصر تابدار نیز با آن مولدهای مانستگی که در پارامتر r_j ظاهر می‌شوند و در پارامتر s_j محظوظ می‌شوند، متناظر می‌شوند. در سطح زنجیر، قضیه ساختار یک روز سازی تولد-مرگ مولدهای C را (با استثنای آنهایی که تا بینهایت ماندگار می‌مانند) بدست می‌دهد.

۳.۲ کدهای میله‌ای

باشهای پارامتری که از پایه $(C; F)$ در رابطه ۳.۲ بدست می‌آیند، الهمابخش یک تصویر بصری کلی از $H_k(C; F)$ به صورت کد میله‌ای اند. هر کد میله‌ای، نمایشی گرافیکی از $H_k(C; F)$ به صورت گردایه‌ای از پاره‌خطهای افقی در صفحه است که محور افقی آن متناظر با پارامتر است و محور عمودی آن ترتیبی (اختیاری) از مولدهای مانستگی را نمایش می‌دهد. شکل ۴ نشان‌دهنده مثالی است از نمایش مانستگی نقاط نمونه‌گیری شده از یک طوق از شکل ۳ با استفاده از کد میله‌ای (در حالتی که تعداد زیادی مقدار پارامتر، ϵ ، مورد نظر است).

قضیه ۳.۲ مشخصه اساسی کدهای میله‌ای را بدست می‌دهد.



شکل ۴ [ایین] مثالی از کدهای میله‌ای برای (R) در مثال شکل ۳. [بالا] رتبه $H_k(\mathcal{R}_{\epsilon_i})$ برابر است با تعداد بازه‌هایی در کد میله‌ای (R) که خطچین $\epsilon = \epsilon_i$ را قطع می‌کنند.

1. torsional elements

(برای کران وابسته به بعد نایبیتر از $\sqrt{2}$, نگاه کنید به [۱۰]). این دلالت \mathcal{R}_ϵ امر دارد که هرویگی توپولوژیکی که تحت نگاشت شمول \mathcal{R}_ϵ ماندگار بماند، وقتی که $\sqrt{2} > \epsilon / \epsilon'$, در واقع یک ویگی توپولوژیک مجتمع چخ $C_{\epsilon'}$ خواهد بود. نتیجه: مانستگی شمول $\mathcal{R}_{\epsilon'}$: $H_* \mathcal{R}_\epsilon \rightarrow H_* \mathcal{R}_{\epsilon'}$ اطلاعاتی را آشکار می‌کند که از $H_* \mathcal{R}_\epsilon$ قابل روئیت نیست و $H_* \mathcal{R}_{\epsilon'}$ بی‌آلایش است. این نشانه‌ای از ایده‌گستردگی ماندگاری است که در دنباله‌ای دلخواه از مجتمعهای زنجیری مطرح می‌شود.

۲.۲ مانستگی ماندگار

با یک مجتمع ماندگار شروع می‌کنیم، یعنی دنباله‌ای از مجتمعهای زنجیری $C = (C_*^i)$ به همراه نگاشتهای زنجیری $x: C_*^i \rightarrow C_*^{i+1}$ (برای سادگی در علامت‌گذاری، نگاشتهای زنجیری x را اندیس‌گذاری نمی‌کنیم). منشأ آن دنباله‌ای از مجتمعهای ریپس یا چخ افزایشی برحسب ϵ است که به ازای یک دنباله‌ای سعودی از پارامترهای $\{\epsilon\}$ نمونه‌گیری شده‌اند. چون مجتمعهای ریپس یا چخ با ϵ رشد می‌کنند، نگاشتهای زنجیری، به‌طور طبیعی با نگاشت شمول یکی گرفته می‌شوند.

تعريف ۲.۲ به ازای $j < i$, مانستگی (j, i) ماندگار C که با $(C_*^i) \rightarrow H_*(C_*^j) \rightarrow H_*(C_*^{j+1})$ نشان داده می‌شود، به عنوان تصویر هم‌ریختی القایی $x: C_*^j \rightarrow H_*(C_*^{j+1})$ تعریف می‌گردد.

به عنوان مثال، پالایه (\mathcal{R}_i) از مجتمعهای ریپس، پارامتری شده با ϵ_i نزدیکیهای ϵ_i را در نظر بگیرید. لم ۱.۲ ایجاد می‌کند که اگر $\epsilon_j / \epsilon_i \geq \sqrt{2}$ آنگاه از $H_k^{i \rightarrow j}(\mathcal{R}) \neq 0$ نتیجه می‌شود. $H_k(C_{\epsilon_j}) \neq 0$. حفره‌ها در مجتمع چخ، به‌وسیله مانستگی ماندگار پالایه ریپس بدست می‌آیند.

همان‌طور که کارلسن و زمردانی توضیح داده‌اند، مقدار بیشتری ساختار جبری در لابه‌لای گروههای مانستگی ماندگار وجود دارد. یک دامنه ایده‌آل اصلی R را به عنوان حلقه ضرایب ثابت نگاه می‌داریم و یک ساختار $R[x]$ -مدول در روی C قرار می‌دهیم که x به عنوان یک نگاشت انتقال عمل می‌کند، مدرج روی C یعنی یک تک جمله‌ای واحد x^n از $R[x]$ را از طریق n بار کاربرد متواتی x به C_*^{i+n} فرستد. شرطی از نوع متناهی را با این مضمون می‌پذیریم که هر C_*^{i+n} -مدول، متناهی مولد است و اینکه دنباله در آن پایدار می‌ماند (در حالتی که دنباله‌ای نامتناهی از مجتمعهای زنجیری داده شده است).

اگرچه پالایش C از طریق نگاشتهای زنجیری x است (مقایسه کنید با وضعیت مجتمعهای ریپس که با افزایش ϵ سادکها اضافه می‌شوند اما هرگز برداشته نمی‌شوند)، C به عنوان یک $R[x]$ -مدول، آزاد است. مانستگی حاصل، $H_*(C)$ ، ساختار یک $R[x]$ -مدول را حفظ می‌کند اما برخلاف مدول زنجیری، لزوماً آزاد نیست، و به‌آسانی رده‌بندی نمی‌شود: نظریه آرتین-ریپس^۲ در جبر جابه‌جایی دلالت به این دارد که مسئله رده‌بندی (از نوع متناهی) مدولهای ماندگار، مثل (C) ، معادل است با رده‌بندی $R[x]$ -مدولهای متناهی مولد که با اعداد نامنفی مدرج شده باشند. این نیز معلوم شده که بسیار دشوار است، برای مثال، در مورد $\mathbb{Z}[x]$.

1. unadorned 2. Artin-Rees

۵.۲ راههای دیگر

باید خاطرنشان کنیم که آنچه در بالا آمد، مختصرترین برداشت از مبحثی است که بهسرعت به یک زیرشاخه جذاب و پر جنب و جوش از توبولوژی محاسباتی تبدیل شده است. برای افرادی که به جنبه‌های جبری-توبولوژیک نظریه علاقه‌مند هستند، پیشرفتهای اخیر را در زیر ذکر می‌کنیم.

- پالایه‌های دیگری، علاوه بر آنها بیک که به مجتمعهای چخ و ریپس وابسته‌اند، وجود دارند که وضعیتها بطبیعی برای بررسی ماندگاری هستند. پالایه مورس یک فضای X مجهز به $f: X \rightarrow \mathbb{R}$ ، پالایه‌ای از X به توسط مجتمعهای

$$X_t = \{f^{-1}([-∞, t])\}$$

است. این (یا نسخه‌گیسته شده مربوط به آن) وضعیت بررسی شده‌ای است ([۱] و [۷]), گرچه پالایش بهوسیله داده‌های خمیدگی انجام می‌گیرد [۵]. بحث ما درباره ماندگاری در وضعیتی بود که با زنجیر مجتمعهای سادکی اندیس‌گذاری شده با یک پارامتر سروکار داریم. انگیزه‌های قوی برای بررسی خانواده‌های چند پارامتری مجتمعها وجود دارد. لکن در این وضعیت مشکلات جبری اساسی در ساختن نظریه‌ای مشابه برای مدولهای ماندگاری پیش می‌آید [۲۴].

- محاسبه مانستگی نسبی ماندگار پیچیده‌تر است، زیرا زنجیر مجتمعهای پارامتری شده C ، که به دنبال آن می‌آید، دیگر به عنوان یک $F[x]$ -مدول، آزاد نیست. بندیک^۱ و هاربر (در تحقیقی در حال پیشرفت) یک روش ساخت جبری برای تعریف و محاسبه مانستگی ماندگار ارائه داده‌اند که در مورد پالایه مورس صورت بسیار روشی دارد. قضیه مشابه قضیه ۳.۲ زوج‌سازی کامل نقاط بحرانی مورس را می‌سر می‌کند.
- محاسبه همانستگی [کوهومولوژی]^۲ ماندگار سراسرت نیست. همان‌طور که دو سیلو (در تحقیقی در حال پیشرفت) نشان داده است، اگر $F[x]$ -مدول مدرج آزاد زنجیر مجتمعهای C برای پالایه مورس t فضای X_t را بگیرید و آن را به عنوان یک $F[x]$ -مدول آزاد مدرج دوگان‌سازی کنید، یعنی اگر $\text{Hom}_{F[x]}(C, F[x])$ را بازسازی، آنگاه مانستگی شیء حاصل دیگر به عنوان یک $F[x]$ -مدول مدرج، همانستگی ماندگار $H^*(X_t)$ خواهد بود. محاسبه همانستگی ماندگار مطلق، توسل به دوگانی و نظریه بندیک-هاربر را که در بالا عنوان شد الزامی می‌سازد.

۳. مثال: تصاویر طبیعی

مثال جدیدی از کشف ساختار توبولوژیک در یک مجموعه داده‌های بعد بالا، از تصاویر طبیعی می‌آید. در اوخر دهه ۱۹۹۰، فان‌هاترن و فان در شاف مجموعه ۴۱۶۷ عدد عکس دیجیتالی تصادفی از صحنه‌هایی در فضای باز را کنار هم گذاشتند [۲۰]. مامفرد و همکارانش چندین سؤال جالب درباره ساختار و عمومیت بالقوه جنبه‌های آماری این مجموعه و مجتمعهایی مشابه از تصاویر، در زمینه درک بصیر مطرح کردند [۱۷].

قضیه ۴.۲ (رک. [۲۲]) رتبه گروه مانستگی ماندگار $(C; F)$ برابر است با تعداد بازه‌هایی در کد میله‌ای $H_k(C; F)$ که باره $[j, i]$ را می‌پیمایند. به خصوص، H_* $(C_*; F)$ برابر است با تعداد بازه‌هایی که شامل آند.

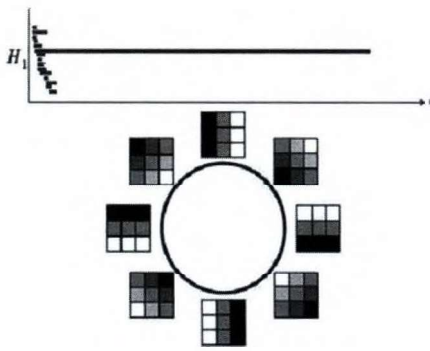
بهترین تعبیر کد میله‌ای آن است که آن را مشابه عدد بتی برای ماندگاری بدانیم. یادآور می‌شویم که k این عدد بتی یک مجتمع، $\beta_k := \text{rank } H_k$ نقش یک اندازه عددی ناظریف برای H_k را یافا می‌کند. همانند β_k ، کد میله‌ای مربوط به H_k هیچ اطلاعاتی درباره ساختار ظرفیتر مانستگی نمی‌دهد، بلکه فقط یک رتبه پارامتری شده پیوسته را به دست می‌دهد. ویژگی تماش با کد میله‌ای، توانایی پالایش کیفی نوغه توبولوژیک و جذب کردن ویژگیهای مهم است. در واقع، همان‌گونه که در [۷] تشریح شده، کدهای میله‌ای، در حضور نوغه‌های افزوده شده به یک پالایه [مورس]، پایدارند. برای مثال در شکل ۴، می‌توان (با استفاده از یک نمونه‌گیری بسیار ناظریف) ملاحظه کرد که توده نقطه، احتمالاً یک شیء همبند را با یک یا دو حفره قابل رویت، آن طور که با H_1 اندازه گرفته شده، نشان می‌دهد و هیچ مانستگی بالاتر قابل ملاحظه‌ای ندارد.

۴.۲ محاسبه

اکثر ناوردها در توبولوژی جبری به دلیل دشواری محاسبه شناخته شده نیستند. مانستگی (در ساده‌ترین صورت‌هایش) به نظر استثنایی می‌آید از این لحاظ که در آن ناوردها به عنوان خارج قسمت فضاهای برداری ظاهر می‌شوند. در زمینه کاربردها، «متناهی» ممکن است از کرانهای معقول فراتر رود. وقتی با میلیونها سادک مواجه می‌شویم، هیچ دلیلی برای این شعار نداریم که «مانستگی فقط جبر خطی است» بلکه به الگوریتم خوب نیاز است. خوشبختانه چنین الگوریتمهایی، با دامنه و سرعت فرازینده، وجود دارند. مرجع [۱۶] درآمدی جامع بر مباحث و الگوریتمهای قابل دسترس برای محاسبه مانستگی در مسائل واقعی در حوزه‌های کاربردی است.

خوش‌اقبالی بیشتر اینکه، یک الگوریتم عالی برای محاسبه گروههای مانستگی ماندگار و کدهای میله‌ای در دسترس است. این الگوریتم، مجتمع سادکی پالایش شده متشکل از زوج (τ_i, σ_i) را، که τ_i یک سادک و σ_i زمانی است که این سادک در پالایش ظاهر می‌شود، به عنوان متغیر خود می‌گیرد. این الگوریتم ابتدا در مرجع [۱۲] برای زیرمجتمعهای سادکی \mathbb{Z}_2 با ضرایب متعلق \mathbb{Z}_2 و بعد در مرجع [۲۲] برای مجتمعهای ماندگار عمومی با ضرایب متعلق به یک میدان، انتشار یافت. برنامه رایانه‌ای مبتنی بر Matlab موسوم به Plex که دو سیلو و پری [۱۱] آن را تهیه کرده‌اند، برنامه کتابخانه‌ای مانستگی ماندگار به زبان C++ تهیه شده بهوسیله کیترز^۳ و زمردیان را با ابزارهایی برای وارد کردن داده‌ها و نیز محاسبه ادغام کرده است.

شایان ذکر است که برای پالایه‌های زنجیری حاصل از مجموعه‌های داده‌های واقعی، مجتمعهای ریپس اندازه غیرقابل کنترلی دارند. این ویژگی، نمونه‌گیری کارا یا فروکاهش مجتمع با توبولوژی صحیح را ضروری می‌سازد. مجتمع شاهد^۴ کارلسن و دو سیلو ([۸]، [۹]، و [۱۴]) راه حلی ساده برای این مسئله به دست می‌دهد.



شکل ۵ کدهای میله‌ای H_1 برای یک نمونه‌گیری تصادفی از 5000×5000 نقطه از $[15, 25]$ یک مولد تنها را بدست می‌دهد. این مولد نشان دهنده خط‌گرهی بین یک قطعه روشن و یک قطعه تاریک، ویزگی باز ز دایره اولیه در M است.

هدف از محاسبه مانستگی، کشف یک ویزگی «پنهان» مجموعه داده‌هاست که فقط با خوشبندی و همبندی قابل تشخیص نیست. همان‌گونه که محاسبه بالا نشان می‌دهد، ساده‌ترین ویزگی از این نوع، یک دایره اولیه است که داده‌ها حول آن پراکنده شده‌اند. این را با چه چیزی می‌توان نظری کرد؟ یک بررسی دقیق نقطه‌داده متناظر با دایره اولیه یک الگوی 3×3 از قطعات را بایک ناحیه روشن و یک ناحیه تاریک که با یک انتقال خطی از هم جدا شده‌اند نشان می‌دهد. خم‌گرهی^۱ بین ناحیه تاریک و روشن، خطی است و در خانواده‌ای دایره‌ای که با زاویه بین خطوط‌گرهی پارامتری شده، طبق شکل ۵ ظاهر می‌گردد. همان‌طور که از کدهای میله‌ای ملاحظه می‌شود، این مولد به‌ازای آستانه و پارامترهای همچگالی انتخاب شده نمایان است. بررسی کدهای میله‌ای مربوط به اولین گروه مانستگی H_1 مجموعه داده‌ها، پالایش شده با پارامتر $k = 15$ و آستانه $T = 25$ ، اولین مانستگی ماندگار متفاوت را نمایان می‌کند. کاهش k ، به میانگین‌گیری از نقاط کمتر و حساسیت چگالی موضوعی تر منجر می‌شود. کد میله‌ای شکل ۶ نشان می‌دهد که H_1 مانستگی ماندگار نمونه‌های انتخاب شده از $M[k, T]$ ، عدد بتای ای برابر ۵ دارد. این به معنای حضور پنج دایره مجزا در مجموعه داده‌ها نیست، بلکه با توجه به مولد و محاسبه کد میله‌ای برای H_1 مشاهده می‌شود^۲ که علاوه بر دایره اولیه، حاصل از محاسبه کد میله‌ای برای k بزرگ، دو دایره ثانویه نیز وجود دارد که در پارامتر چگالی پایین‌تر به چشم می‌آیند.

بررسی دقیق این سه دایره نشان می‌دهد که هریک به‌ازای k بزرگ، دایره اولیه را دوبار قطع می‌کنند، با این حال دو دایره ثانویه جدا هستند. این دو دایره ثانویه با چه ویزگی‌هایی در داده‌ها ممکن است متناظر باشند؟ همان‌طور که در [۳] خاطرنشان شده، هر دایره ثانویه تصاویر را با سه ناحیه تابیان تنظیم می‌کند و بین این حالتها و دایره اولیه درون‌بایی می‌کند. تفاوت بین دو دایره ثانویه، به ترتیب، در گرایش آنها به لاپلایشدن افقی و عمودی است. شکل ۷ تعبیری از معنای دایره‌های ثانویه را نشان می‌دهد.

۴.۳ مشابه، اما متفاوت

فاایده ویزگی‌های توپولوژیک موقتی که به صورت تابعی از پارامتر^۴ ظاهر می‌شوند و محو می‌شوند چیست؟ آیا این به چیزی بیشتر از یک روش اکتشافی^۲

1. nodal curve 2. heuristic

۱.۳ مسئله، مسئله می‌آفریند: گامی به جلو

مامفرد، لی^۱ و پدرسن^۲، 5000×5000 مربع ۳ پیکسل در ۳ پیکسل را به تصادف از هر تصویر دیجیتالی انتخاب کردند و با نگه داشتن 20 درصد بالایی آنها برحسب تباين [کنتراست] شان، یک مجموعه داده‌ها ساختند [۱۸]. هریک از چنین مربعهایی، ماتریسی از شدت‌های خاکستری مقیاس است. مجموعه کامل داده‌ها تقریباً از 8000000 نقطه در \mathbb{E}^3 تشکیل شده است. تباين زیاد دارند (آنها که از مبدأ دورند)، مجموعه داده‌ها روی مجموعه‌ای چون M از نقاط یک کره توپولوژیک هفت بعدی $S^7 \in \mathbb{E}^8$ تصویر می‌شود. این نهود ساختن مجموعه داده‌ها نیازمند انتخاب پایه‌ای طبیعی برحسب نرم خاصی برای مقادیر تباين قطعات است. برای ملاحظه جزئیات بیشتر، خواننده علاقه‌مند را به [۱۸] ارجاع می‌دهیم.

۲.۳ ساختاری هنوز مبهم

فروکاهش ناظریف یک تصویر طبیعی (به مربعهای 3×3 از شدت‌های خاکستری مقیاس) بازهم به توده نقطه‌ای می‌انجامد که بعد آن بالاتر از آن است که قابل تجسم باشد. از این بدل، ساختاری که در آنجاست مبهم و آشفته است: به نظر می‌آید نقاط ابتدا باید روی کل کره S^7 توزیع شوند. به این ترتیب، بررسی چگالی در دستور قرار می‌گیرد. موضوع بالایش چگالی، حوزه سیار شناخته شده‌ای در آمار است. برای مثال [۱۹] را ببینید.

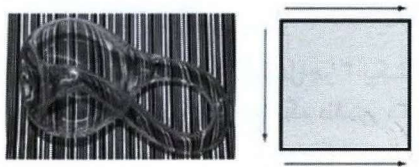
در [۳] یک تابع همچگالی به صورت زیر مورد استفاده قرار گرفته است. یک عدد صحیح مثبت k را ثابت نگاه دارید. برای هر نقطه x_α در مجموعه داده‌ها، $(x_\alpha)_k$ را به عنوان فاصله در \mathbb{E}^n از x_α تا k -امین همسایه x_α از لحاظ نزدیکی تعریف کنید. برای یک مقدار ثابت k ، δ_k توزیعی مثبت روی توده نقطه‌است، که شاعر گویی را که برای دربرگرفتن k -همسایه مورد نیاز است اندازه می‌گیرد. (به این ترتیب) مقادیر δ_k با چگالی توده نقطه رابطه معکوس دارند. با استفاده از مقدار بزرگتر برای k ، میانگین‌گیری از نقاط بیشتری در میان همسایه‌ها صورت می‌گیرد که تغییرات طریفتر را نامشخص می‌کند. همچگالی به صورت زیر برای پالودن داده‌ها مورد استفاده قرار می‌گیرد. زیرمجموعه M در T درصد بالایی چگالی، آن‌طورکه با δ_k اندازه‌گیری شده، را با $[M[k, T]]$ نمایش می‌دهیم. این یک زیرمجموعه دوپارامتری از توده نقطه است که برای مقادیر قابل قبول k و T ، هسته مناسبی را نمایش می‌دهد.

۳.۳ بازگشت به آغاز: وضوح بیشتر

محاسبه اولین مانستگی ماندگار جالب روی این مجموعه داده‌ها در سطح H_1 روی می‌دهد. تا چه میزان «طوفه» در مجموعه داده‌ها وجود دارد که در امتداد آنها توده داده متمرکز شده است؟

با در نظر گرفتن آستانه چگالی $T = 25$ به‌ازای پارامتر همسایگی $k = 200$ ، با 5000×5000 نقطه که به تصادف از $M[k, T]$ نمونه‌گیری شده‌اند، محاسبه کد میله‌ای برای اولین مانستگی H_1 یک مولد ماندگار یکتا را آشکار می‌کند [۳]. شکل ۵ را ببینید. این دلالت بر آن دارد که مجموعه داده‌ها حول دایره اولیه‌ای در کره ۷ بعدی پراکنده شده‌اند. ساختار کد میله‌ای نسبت به نمونه‌گیری تصادفی نقاط در $M[k, T]$ استوار^۳ است.

1. Lee 2. Pederson 3. robust

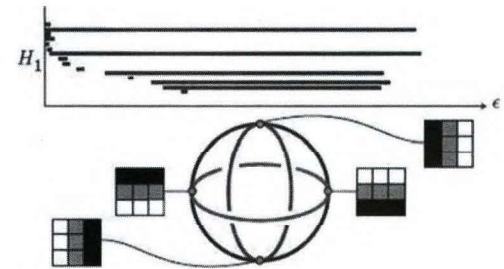


شکل ۸ [چپ] یک بطری کلاین (تصویر شده در برابر کد میله‌ای اشن). [راست] رویه جهت‌نپذیری که از یکی گرفتن ضلعهای مقابل یک مربع طبق شکل به دست می‌آید.

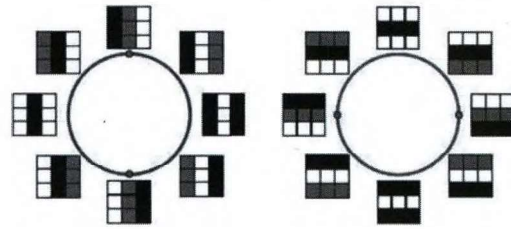
از اینجاست که بصیرتی عمیق‌تر در مورد مجموعه داده‌ها پیدا می‌کنیم. با الهام گرفتن از معنای کدهای میله‌ای H_1 متعلق M و بررسی بیشتر، گرایش ذاتی به سمت راستهای افقی و عمودی در داده‌های تصویری طبیعی، در مقابل زاویه قراردادی قائمه که دوربین در آن وضعیت نگاه داشته می‌شود، آشکار می‌گردد؛ مرجع [۳] گزارش می‌دهد که با تکرار آزمایش عکس‌برداری با دوربینی که در زاویه $\pi/4$ قرار داده شده است، مجموعه‌ای از داده‌ها به دست می‌آید که مولدات آن گرایشی به سمت راستی افقی واقعی و عمودی واقعی را نشان می‌دهد؛ محور پیکسل‌بندی، کمتر از محور گرانی در داده‌های تصویری طبیعی مطرح است.

آیا قدرتی پیشگویانه در کدهای میله‌ای مجموعه داده‌ها نهفته است؟ پیشرفت اخیر [۳] چشم‌اندازی از این‌گونه قابلیت رویکرد توپولوژی ماندگار را نشان می‌دهد. کدهای میله‌ای برای دومین مانستگی ماندگار H_2 ، برحسب تعییرات چگالی و آستانه بی ثبات‌ترند. جای تعجب نیست: جملات از کمترین مرتبه در هر بسط به سری، همیشه به آسانی درک می‌شوند. اما نشانی از یک مولد ماندگار H_2 (با ضرایب متعلق به \mathbb{Z}_2) در وضعیت‌های معینی از k و T وجود دارد که همراه با مولدات پایه H_1 ، بصیرتی در پیش‌بینی ساختار فضایی قطعات با تباین زیاد به دست می‌دهد. در آستانه‌های چگالی معین، کد میله‌ای H_2 که به طور مناسب با تبیغ اکام^۱ بریده شده باشد، کامل شده دو بعدی پایه مانستگی ماندگار H_1 به ازای k کوچک را به صورت بطری کلاین (شکل ۸) القاء می‌کند. باید آورید که این روش جهت‌نپذیر می‌تواند به عنوان فضای یکی‌سازی^۲ یک مربع، به صورتی که در شکل نشان داده شده، محقق شود. شکل ۹ نمایشی از نشاندن این رویه در فضای تصاویر پیکسل‌بندی شده را نشان می‌دهد. باید توجه کرد که این کامل‌سازی طبیعی چگالی پایین تعییر مانستگی ماندگار H_1 است: دایره‌های اولیه و ثانویه با خواص تقاطعی مناسب ظاهر می‌شوند. خوشبختانه محاسبات یک زوج مانستگی با ضرایب متعلق \mathbb{Z}_2 —طبیعی‌ترین میدان متاگاهی موجود برای آزمایش‌های رایانه‌ای—در بررسی اینکه رویه ماندگار پیدا شده یک بطری کلاین است، سودمند می‌باشد. تأکید می‌کنیم که مجموعه داده‌های توده نقطه‌ای M ، گسترده و از بعد بالاست و به هیچ وجه به طور واضح ویژگی‌های متمایز را مشخص نمی‌کند. یک نگاه گذرا به داده‌ها، چنین می‌نمایاند که کره ۷ بعدی به طور چگال با نقاط داده‌ای پر می‌شود و ظاهراً در آن هیچ ساختار روشی نمی‌توان پیدا کرد. از طریق عدسی مانستگی ماندگار—که به طور مناسب تنظیم و هدف‌گذاری شده

^۱. Occam's razor، اصلی منسوب به ویلیام اکام، فیلسوف و منتقدان انگلیسی قرن ۱۴ حاکی از آنکه از میان دو نظریه که توان توصیف و پیش‌بینی یکسان دارند، ساده‌ترین را باید برگزید—م.



شکل ۶ کد میله‌ای H_1 برای M [۱۵، ۲۵] پنج مولد ماندگار را آشکار می‌کند که از اینجا وجود دو دایرة ثانویه معلوم می‌شود که هریک دایرة سوم را قطع می‌کند. به ازای k بزرگ، دایرة اولیه دوبار قطع می‌شود.



شکل ۷ مولدات ای H_1 برای M [۱۵، ۲۵] به عنوان تنظیم‌کننده تعییرات از قطعه دوگان به قطعه سهگانه نواحی با تابیخ بالا، به ترتیب با گرایش‌های افقی و عمودی تعییر می‌شوند.

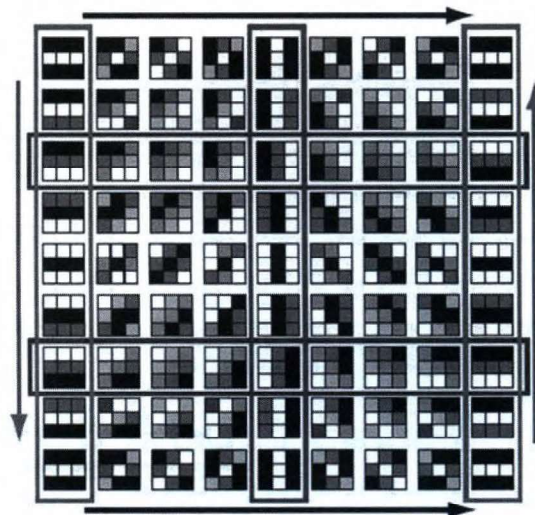
برای مجموعه‌های داده‌های از بعد بالا که تجسم آنها دشوار است، می‌انجامد؟ هرچند تحقیقات کارلسن و همکارانش خیلی جدید است، رویکرد توپولوژیک به تحلیل داده‌ها کاربردهای متعددی دارد که مؤید این گزاره‌اند که ساختارهای مانستگی در مجموعه‌های داده‌های از بعد بالا اهمیت علمی دارند. علاوه بر مجموعه داده‌های مامفرد که در اینجا بررسی شد، محاسبات مانستگی ماندگار در چندین زمینه مقاوت به کار می‌روند، از جمله، ویژگی‌های هندسی خمها (برای مثال، تشخیص اپتیکی نویسه‌ها) [۵] و دنباله داده‌های حاصل از آرایه‌های الکترودی کاشته شده در قشر بینایی نخستین مغز میمونهای ماکاک^۱ [۴]. یکی از اهداف طرح تحقیقاتی اخیر، بی بردن به این نکته بود که چگونه توپولوژیک فضای پارامتری تصاویر در داده‌های عصبی ظاهر می‌شود. درست همان‌گونه که عدسی چشم تصاویر را کنترل می‌کند و روی شبکیه می‌اندازد.

فضای پارامتری تصویر تبدیل می‌شود و در قشر بینایی انکاس می‌یابد. در مورد داده‌های تصویری طبیعی، آموزنده خواهد بود که مانستگی ماندگار M را چیزی شبیه بسط سری فضای واقعی بینگاریم. فروکاهش مجموعه کامل داده‌ها به یک S^7 از طریق تصویر کردن، در واقع یک نوع بهنجارسازی برای حذف جملات از مرتبه صفر (یا «تک قطعه») در یک مجموعه داده‌های است. به پیروی از این تشبیه، مولد اولیه H_1 ، نقش جمله بعدی را در بسط نوع هموتوپی مجموعه داده‌ها ایفا می‌کند، خم گرهی دو قطعه متباین را از هم متمایز می‌کند. دایره‌های ثانویه با درون‌بایی بین خمها گرهی منفرد و دوگان آنها، به عنوان جملات از مرتبه بالاتر بسط عمل می‌کنند که در آنها انحرافهای عمودی و افقی پیش می‌آید.

8. V. de Silva, “A weak definition of Delaunay triangulation”, preprint (2003).
9. V. de Silva and G. Carlsson, “Topological estimation using witness complexes”, in *SPBG04 Symposium on Point-Based Graphics* (2004), 157-166.
10. V. de Silva and R. Ghrist, “Coverage in sensor networks via persistent homology”, *Alg. & Geom. Topology*, 7 (2007), 339-358.
11. V. de Silva and P. Perry, PLEX home page, <http://math.stanford.edu/comptop/programs/plex/>.
12. H. Edelsbrunner, D. Letscher, and A. Zomorodian, “Topological persistence and simplification”, *Discrete Comput. Geom.*, 28:4 (2002), 511-533. MR1949898 (2003m: 52019).
13. H. Edelsbrunner and E. P. Mücke, “Three-dimensional alpha shapes”, *ACM Transactions on Graphics*, 13:1 (1994), 43-72.
14. L. Guibas and S. Oudot, “Reconstruction using witness complexes”, in *Proc 18th ACM-SIAM Sympos. on Discrete Algorithms* (2007).
15. A. Hatcher, *Algebraic Topology*, Cambridge University Press (2002). MR1867354 (2002k:55001)
16. T. Kaczynski, K. Mischaikow, and M. Mrozek, *Computational Homology*, Applied Mathematical Sciences, 157, Springer-Verlag (2004). MR2028588 (2005g:55001)
17. D. Mumford, “Pattern Theory: The Mathematics of Perception”, Proc. Intl. Congress of Mathematicians, Vol. I (2002), 401-422. MR1989195 (2004k:91168)
18. D. Mumford, A. Lee, and K. Pedersen, “The nonlinear statistics of high-contrast patches in natural images”, *Intl. J. Computer Vision*, 54 (2003), 83-103.
19. B. Silverman, *Density Estimation for Statistics and Data Analysis*, Chapman & Hall/CRC (1986). MR848134 (87k:62074)
20. J. van Hateren and A. van der Schaff, “Independent Component Filters of Natural Images Compared with Simple Cells in Primary Visual Cortex”, *Proc. R. Soc. London*, B 265 (1998), 359-366.
21. L. Vietoris, “Über den höheren Zusammenhang kompakter Räume und eine Klasse von zusammenhangstreuen Abbildungen”, *Math. Ann.*, 97 (1927), 454-472. MR1512371.
22. A. Zomorodian and G. Carlsson, “Computing persistent homology”, *Discrete Comput. Geom.*, 33 (2005), 249-274. MR2121296 (2005j:55004).
23. A. Zomorodian and G. Carlsson, “Localized homology”, *Proc. Shape Modeling International* (2007), 189-198.
24. A. Zomorodian and G. Carlsson, “The theory of multidimensional persistence”, *Proc. Symposium on Computational Geometry* (2007), 184-193.

- Robert Ghrist, “Barcodes: the persistent topology of data”, *Bull. Amer. Math. Soc. (N.S.)*, (1) 45 (2008) 61-75.

* رابرٹ گریست، دانشگاه ایلینوی، آربانا، آمریکا

gchrist@math.uiuc.edu

شکل ۹ یک بطری کلابن به طور طبیعی در فضای پارامتر، به عنوان کامل شده مدل ۳-دایره، نشانده می‌شود. در فضای یکی‌سازی نتایج نشان داده شده، دایره اولیه دور محور افقی دوبار می‌پیچد. دو دایره ثانویه هریک حول محور عمودی یک بار می‌پیچند (توجه: دایره‌های واقع در منتهی‌الیه چپ و راست با جهت‌های مخالف به یکدیگر چسبانده شده‌اند). هر دایرة ثانویه، دایرة اولیه را دوبار قطع می‌کند.

باشد—ویزگیهای بارزی ظاهر و محو می‌شوند. بهمختص بررسی دقیق، معلوم می‌شود که این مولدهای ماندگار با ساختارهای معنی‌داری در داده‌ها متناظر می‌شوند و الهمه این ساختارهای متناظر قابل درکی از ساختار کلی مجموعه داده‌ها هستند. این است آن نوع قدرت توصیفی که هر مثال خوب ریاضیات کاربردی به چالش علمی عرضه می‌کند.

مراجع

1. P. Bubenik and P. Kim, “A statistical approach to persistent homology”, preprint (2006), [math.AT/0607634](http://arxiv.org/abs/math/AT/0607634).
2. E. Carlsson, G. Carlsson, and V. de Silva, “An algebraic topological method for feature identification”, *Intl. J. Computational Geometry and Applications* 16:4 (2006), 291-314. MR2250511 (2007c: 52015)
3. G. Carlsson, T. Ishkhanov, V. de Silva, and A. Zomorodian, “On the local behavior of spaces of natural images”, *Intl. J. Computer Vision*, in press.
4. G. Carlsson, T. Ishkhanov, F. Mémoli, D. Ringach, and G. Sapiro, “Topological analysis of the responses of neurons in V1”, in preparation (2007).
5. G. Carlsson, A. Zomorodian, A. Collins, and L. Guibas, “Persistence barcodes for shapes”, *Intl. J. Shape Modeling*, 11(2005), 149-187.
6. F. Chazal and A. Lieutier, “Weak feature size and persistent homology: computing homology of solids in \mathbb{R}^n from noisy data samples”, in *Proc. 21st Sympos. Comput. Geom.* (2005).
7. D. Cohen-Steiner, H. Edelsbrunner, and J. Harer, “Stability of persistence diagrams”, in *Proc. 21st Sympos. Comput. Geom.* (2005), 263-271.